

- Moal, G.I., Landron, C., Crollié, G., Robert, R., Burauca, C., 2003. Menitis due to *Coprocystophaga canimorsus* after receipt of a dog bite: case report and review of the literature. Clin. Infect. Dis. 36, e42–e46.
- Ota, K., Kazawa, T., Tsubata, A., Suzuki, C., Inada, M.K., 2009. An autopsy case involving severe sepsis due to *Coprocystophaga canimorsus* (in Japanese with English abstract). Kansenshogakukai Zasshi. 93, 661–664.
- Sarmiento, P.S., Mohanty, S., 2001. *Coprocystophaga cyanocephala* cellulitis, bacteremia, and pneumonitis in a diabetic man. J. Clin. Microbiol. 39, 2028–2029.
- Takahashi, H., Deguchi, Y., Abe, M., Yamada, S., Akizuki, N., Kobayashi, T., Nakakawa, T., 2009. A case who survived *Coprocystophaga canimorsus* sepsis with multiple organ failure. Nihon Kyoka Igakka Zasshi. 20, 226–231 (in Japanese with English abstract).
- van Dam, A.P., van Weert, A., Hartmanus, C., Hovius, K.E., Claas, E.J., Reubaet, F.A.C., 2009. Molecular characterization of *Coprocystophaga canimorsus* and other canine *Coprocystophaga* spp. and assessment of their frequency in dogs by PCR. J. Clin. Microbiol. 47, 3218–3225.
- Westwell, A.J., Kerr, K., Spencer, M.B., Hutchinson, D.N., 1989. DF-2 infection. BMJ 288, 116–117.

〔症 例〕

自動血液培養で陽性シグナルを呈しなかった *Capnocytophaga canimorsus* による敗血症の一症例

古谷明子¹⁾・吉田里美¹⁾・久保 繩¹⁾・山下麻衣子¹⁾
伊藤達也¹⁾・鈴木道雄²⁾・今岡浩一²⁾・大楠清文³⁾

¹⁾佐世保共済病院中央臨床検査科²⁾国立感染症研究所医学系研究科寄原体制御学分野³⁾岐阜大学大学院医学系研究科寄原体制御学分野

(平成 22 年 2 月 1 日受付、平成 22 年 4 月 30 日受理)

Capnocytophaga canimorsus はイヌやネコの口腔内常在菌であるが、まれに咬傷による敗血症例が報告されている。筆者らは、イヌ咬傷により敗血症性ショックに陥った症例を経験した。症例は 44 歳男性。既往歴は慢性鼻炎手術、尿路結石である。2008 年 11 月 3 日、飼い犬咬傷にて右示指を咬まれ、右示指末節骨膜開放骨折を認めためて手術目的で入院となつたが経過は順調であつた。11 月 6 日に激しい頭痛があり、翌日には食思不振、下痢、呼吸苦、顔面に皮疹、手指に水泡、足底にチアノーゼが出現した。11 月 8 日に静脈血液培養 2 セットを開始したが、培養 3 日を経過しても陽性反応を示さなかつた。そこで、直接ボトル内の血液を抜き取りグラム染色を行つた結果、ボトル 4 本中 2 本で糸状のグラム陰性桿菌を確認した。患者背景より *C. canimorsus* を疑い、血液培養液から直接 16S rRNA 遺伝子配列の解析を行い *C. canimorsus* を確認した。後日分離された患者由来菌株および刷毛イヌの口腔内ぬぐい液培養体の 16S rRNA 遺伝子配列を決定した結果、いずれも *C. canimorsus* と同定された。

Key words: *Capnocytophaga canimorsus*, 犬咬傷, 血液培養, グラム染色, PCR

序 文

Capnocytophaga 属菌はヒトおよび動物の口腔内に常在する妨害性のグラム陰性桿菌である。通性嫌気性菌であり、炭酸ガスおよび嫌気性培養する。本属には 7 菌種が含まれるが、イヌ、ネコの *Capnocytophaga* とは区別される。*C. canimorsus* は、オキシダゼ陽性、カタラーゼ陽性を示し、ヒト由来の *Capnocytophaga* とは区別される。*C. canimorsus* は、イヌ、ネコ咬傷後に敗血症、髄膜炎などを引き起こし、世界中では 200 例ほどが報告されており、高齢者、易感者に重症例が多いとされ、致死率は 30% とされ

著者連絡先: (〒857-8575) 長崎県佐世保市島地町 10-17
佐世保共済病院 古谷明子

TEL: 0956-22-5136

FAX: 0956-22-6082

E-mail: kensa@ktr.sasebo.nagasaki.jp

ている^{1)~3)}。本邦でも十数例が報告されている^{3)~7)}。今回筆者らは、自動血液培養で陽性シグナルを示していない検体について直接グラム染色を行うことで *C. canimorsus* 同定につながつた症例を経験している。

Capnocytophaga 属菌はヒトおよび動物の口腔内に常在する妨害性のグラム陰性桿菌である。通性嫌気性菌であり、炭酸ガスおよび嫌気性培養する。本属には 7 菌種が含まれるが、イヌ、ネコの *Capnocytophaga* とは区別される。*C. canimorsus* は、オキシダゼ陽性、カタラーゼ陽性を示し、ヒト由来の *Capnocytophaga* とは区別される。*C. canimorsus* は、イヌ、ネコ咬傷後に敗血症、髄膜炎などを引き起こし、世界中では 200 例ほどが報告されており、高齢者、易感者に重症例が多いとされ、致死率は 30% とされ

特に問題なく経過していたが、11 月 6 日夜間激しい頭痛、38.6°C の発熱。頭部腫脹ではなく CT 所見も異常はなかつた。翌日頭痛著しく、食欲不振、夕方より下痢の症状が出現し、その後呼吸苦、四肢のしびれ感が出現し、液体顔面に皮疹を認めた。11 月 8 日血液検査結果(表 2)より擇選性血管内濾血症群(DIC)と診断され、人口呼吸器管理となり DIC 加強と抗凝血は、meropenem (MEPM) と clindamycin (CLDM) に変更投与された。また、面上肢に水泡、足趾末梢血行障害と思われるチアノーゼが出現してきた。受傷指は、色調不良で、皮下の治癒傾向も乏しく、感染源の可能性も考えられることから、末梢骨を第一関節からドマンを開放した。爪甲は、爪根部で爪付けから脱臼しており、一部損傷を認めたが、爪根を爪母に整復できた。創部は開放しドレーンを留置した。

臨床経過(表 1): 初診時血液検査において白血球 8,960/μl, CRP は陽性。抗菌薬は、cefazolin (CE) と isepamicin (ISP) が投与開始され、術後 2 日目までは



図 1. A: 右示指咬傷部所見, B: 右示指咬傷部 X 線画像

表 1. 入院時(受傷時), 11 月 8 日(受傷 5 日目) 検査所見

	入院時	11 月 8 日	入院時	11 月 8 日
Blood chemistry			Peripheral blood	
TP (g/dl)	7.2	5.1	($\times 10^3/\mu\text{l}$)	89.6
T-bil (mg/dl)	0.39	4.45	(%)	44.2
D-bil (mg/dl)		3.4	Lymph (%)	46.8
AST (IU/L)	23	373	Mono (%)	4.8
ALT (IU/L)	28	144	Eo (%)	3.8
LDH (IU/L)	179	958	Baso (%)	0.4
ALP (IU/L)	187	323	RBC ($\times 10^4/\mu\text{l}$)	493.0
r-GTP (IU/L)	83	212	Hb (g/dl)	16.1
CPK (IU/L)	73	134	Hct (%)	46.2
BUN (mg/dl)	10.5	27.8	Plt ($\times 10^3/\mu\text{l}$)	34.8
Cre (mg/dl)	0.85	3.98	Coagulation test	0.7
Na (mEq/L)	143.0	139.5	PT (INR)	0.82
K (mEq/L)	3.93	3.67	APTT (sec)	25.1
Cl (mEq/L)	103.9	101.1	Fbg (mg/dl)	25.1
CRP (mg/dl)	0.04	22.26	ATIII (%)	131.0
				71.8
				59.6

特に問題なく経過していたが、11 月 6 日夜間激しい頭痛、38.6°C の発熱。頭部腫脹ではなく CT 所見も異常はなかつた。翌日頭痛著しく、食欲不振、夕方より下痢の症状が出現し、その後呼吸苦、四肢のしびれ感が出現し、液体顔面に皮疹を認めた。11 月 8 日血液検査結果(表 2)より擇選性血管内濾血症群(DIC)と診断され、人口呼吸器管理となり DIC 加強と抗凝血は、meropenem (MEPM) と clindamycin (CLDM) に変更投与された。また、面上肢に水泡、足趾末梢血行障害と思われるチアノーゼが出現してきた。受傷指は、色調不良で、皮下の治癒傾向も乏しく、感染源の可能性も考えられることから、末梢骨を第一関節からドマンを開放した。爪甲は、爪根部で爪付けから脱臼しており、一部損傷を認めたが、爪根を爪母に整復できた。創部は開放しドレーンを留置した。

臨床経過(表 1): 初診時血液検査において白血球 8,960/μl, CRP は陽性。抗菌薬は、cefazolin (CE) と isepamicin (ISP) が投与開始され、術後 2 日目までは

懸念したが、以後は改善傾向となり 16 日人工呼吸器より離脱となった。

細菌学的検査所見

1. 培養検査

11 月 8 日深夜、静脈血液培養 2 セット採取。好気ポートは BACTEC PLUS Aerobic/F を、嫌気ポートは BACTEC PLUS Anaerobic/F を使用し自動血液培養装置 BACTEC 9050 にて実施した。培養開始 3 日目。陽性シグナルは見られなかつたが、患者情報を詳しく確認したところ、イス咬傷後の敗血症が疑われる症例であることが判明した。そこで、血液培養ポート 4 本すべての血液を一括採取り、グラム染色を行つたところ、好気ポート 2 本について、糸状のグラム陰性桿菌を多く少數認めた(図 2)。さらに、11 月 7 日に採血

表2. 間床経過表

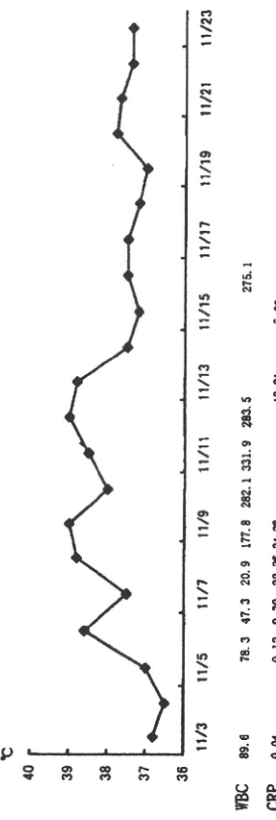
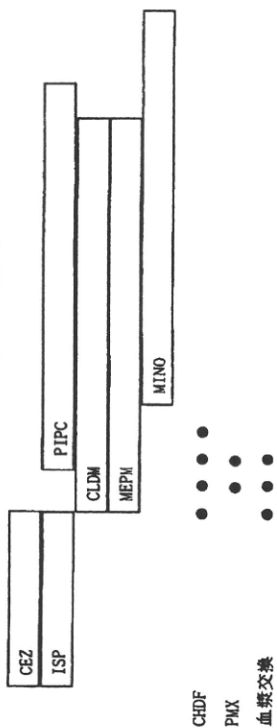
図3. コロニーの性状
A: 培養6日間 B: さらに5%炭酸ガス培養1日間

表3. 菌剤感受性試験

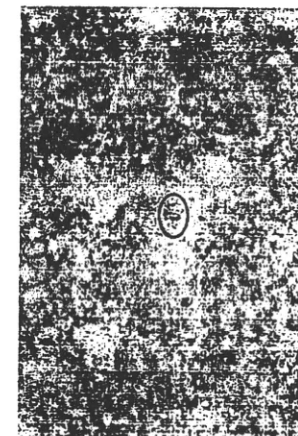
分類	一般名	略号	感受性
ペニシリン系	Amoxicillin Ampicillin Clavulanic/Ampicillin Piperacillin Benzylpenicillin	AMPC ABPC AMPC/CVA PIP PCG	S S S S S
セフェム系	Cefazolin Cefotaxime Ceftriaxone Latamoxef	CEZ CTX CTRX LMOX	I I I I
カルバペネム系	Imipenem/Cilastatin Meropenem	IPM/CS MEPM	S S
アミノグリコシド系	Gentamicin Streptomycin	GM SM	R R
マクロライド系	Azithromycin Erythromycin	AZM EM	S S
テトラサイクリン系	Tetracycline Doxycycline Minocycline	TC DOXY MINO	S S S
キノロン系	Nelidixic acid Ofloxacin Ciprofloxacin	NA OFIX CPFX	S S S
リンコマイシン系	Clindamycin	CLDM	S
クロラムフェニコール系	Chloramphenicol	CP	S
ポリペチド系	Polymyxin-B	PLB	R
抗結核薬	Rifampicin	RFP	S
ST合剤	Sulfamethoxazole/Trimethoprim	ST	S

S: susceptible I: intermediate R: resistant

コロニーを認めた。しかし、血液培養ボトル4本は自動血液培養装置BACTEC9050において、いずれも培養7日目までの間に陽性反応はなかった。11月8日、創部(受傷部)と左前腕水泡内容液を採取したが、塗抹所見では明らかな菌は認めなかつた。それ故に培養は、5%ヒツジ血液寒天(栄研)を35°C・5%CO₂培養、BTB乳糖加寒天(日本水)、フルセラHK半流動培地を35°C・好気培養、フルセラHK寒天(極東)を嫌気培養した。培養7日目に5%ヒツジ血液寒天(栄研)、フルセラHK寒天(極東)(極東)に血液同様の微小なコロニーを認めた。コロニーは嫌気条件下の培養6日目で、直徑約1mm、スムースで透明な形態であり(図3A)、さらに35°C・5%CO₂培養24時間行うと辺縁のはっきりしたコロニーとして生育した(図3B)。通常ヒトの呼吸器材料などに見られる*Capnocytophaga* sp.とはコロニーの形態が異なつてゐた。

2. 同定検査

患者背景から*C. canimorsus*が疑われたが、本菌は発育に比較的時間をおよし、同定も困難な菌種である。そこで、血液培養および血球測定用血液を用いて直接16S rRNA遺伝子解析を行ひ、いずれも*C. canimorsus*の基準株と99.9%相性ありという結果であった。また、患者の静脈血、受傷部、左前腕水泡

図2. 血液培養ボトル内血液ケラム染色像
(×1,000)

されていた血球測定用のEDTA入り血液スメアを調べたところ、グラム染色にて系統のグラム陰性桿菌がごく少數確認された。血液培養のサブカルチャーハーは、チョコレート寒天(栄研)、5%ヒツジ血液寒天(栄研)を35°C・5%CO₂培養、BTB乳糖加寒天(日本水)、フルセラHK半流動培地を35°C・好気培養、フルセラHK寒天(極東)を嫌気培養した。サブカルチャーハー4日目にチョコレート寒天(栄研)、5%ヒツジ血液寒天(栄研)、フルセラHK寒天(極東)培地上に微小のコ

内容液より後日分離された3株について、DNAを抽出しPCR検査を行った。*C. canimorsus*および*Capnocytophaga cynodegmi*の16S rRNA遺伝子に対する特異的プライマーを用いた検査では、3株ともその双方に陽性を示した。16S rRNA遺伝子シーケンスを解析の結果、本分離株ではゲノム内に複数存在すると示唆される16S rRNA遺伝子オペロンの塩基配列に多型が認められ、そのため用いた双方のプライマーに陽性反応を示したものと考えられた。しかしながら *C. canimorsus* は特異的なgyrB遺伝子のPCR検査で陽性を示したことから、本分離株は *C. canimorsus* と考えられた。また、咬傷の原因となった飼育犬の口腔内肉ぐい液について、*Haemophilus influenzae*様の短桿菌を呈している。また *P. multocida*は、受傷後24時間以内に激しい局所の腫脹が現れる⁹のにに対し、*C. canimorsus*は潜伏期が2~14日と長く、局部症状よりも全身症状が現れることが多い、などの違いから鑑別も可能である^{1,8}。

今回の症例では、受傷後3日目に頭痛などの症状が出現しているがその時点で血液培養は施行されていないかった。DIC状態となつたため、血液ボトル2セット採取されたが、自動血液培養は陽転することなく経過していた。患者の詳しい情報を得たのが発送3日目であり、その時点まで血液培養ボトル内の血液を直接抜き取り、グラム染色を行い、菌を確認するに至った。イヌ又は猫など特徴的な患者背景があり、明らかに敗血症が疑われる症例において、臨床とのコミュニケーションを密に取ることが、原因菌の検索に重要であると再認識した。

3. 素剤感受性試験(表3)

5%ウサギ脱纖維血漿加hardtインキュベーション寒天を使用し、センシティスク法(日本ベクトン・カタラーゼ陽性であり、同定キットID Test HN-20(日本製薬)においても *C. canimorsus*(プロファイルNo. 3010001, 同定確率100%)と同定された)。

5%ウサギ脱纖維血漿加hardtインキュベーション寒天を使用し、センシティスク法(日本ベクトン・カタラーゼ陽性であり、同定キットID Test HN-20(日本製薬)で行つた。35°C・5%CO₂条件下で48時間培養後、阻止円を計測し、センシティスクの感受性判定値の数値および对照菌 *Staphylococcus aureus* および *Escherichia coli*の同条件での結果を参考に阻止円の十分大きいものを感性(S)とし、全く阻止円のないものを耐性(R)とし、その中間を(I)と判定した。ペニシリン系、テトラサイクリン系薬剤には感性を示したが、セフェム系では中間、アミノグリコシド系には耐性であった。今回、DIC後に使用された速効剤に対しては、すべて感性であった。

考 索

*C. canimorsus*はイヌ、ネコの口腔内常在菌であり、イヌ、ネコの咬傷や密な接触により感染し、まれに易感染者に対する敗血症、腎不全、創傷炎やDICを起こして死に至る例もあると書かれている。敗血症を発症したときの死亡率は30%と報告されており、進行が遅く非常に危険な感染症である^{1,2}。そのため敗血症に対する迅速な救命医療を行う必要がある。また、高齢者や易感染状態にない健康人の重症例の報告もある。

ここが必要であると思われる。今回、血液培養が陽性シグナルを呈さない時点で、直接血液スマearsをグラム染色することが迅速診断につながった。さらに、血液培養液から直接受取子解分析することで迅速な病原の同定が可能であった。これらの方針は適切な治療方針を決定するうえで大いに有用であった。

結 語

今回筆者らは、自動血液培養で陽性シグナルを呈さ

ない検体から直接グラム染色を行うことにより *C. canimorsus* 同定につながった症例を経験した。

- 文 献
- Janda, J.M. et al. 2006. Diagnosing *Capnocytophaga canimorsus* infections. *Emerg. Inf. Dis.* 12: 340-342.
 - Gaasen, et al. 2009. *Capnocytophaga canimorsus*. *Vet. Microbiol.* doi:10.1016/j.vetmic.2009.01.040
 - 今岡浩一. 2009. 犬、猫由来細菌感染症. *獣医雑誌* 130(1): 65-70.
 - 菊池一美・他. 2005. *Capnocytophaga canimorsus*による敗血症の1症例. *日本臨床微生物学会雑誌* 33: 61-65.

Positive Gram's Stain of Blood Culture without Positive Signals on BACTEC9050

- Akiko Furutani,¹⁾ Satomi Yoshiida,¹⁾ Aya Kubo,¹⁾ Maiko Yamashita,¹⁾ Tatsuki Itoh,¹⁾ Michio Suzuki,²⁾ Koichi Imaoka,²⁾ Kiyofumi Ohkusu³⁾
- ¹⁾ Department of Clinical Laboratory, Sasebo Kyoso Hospital
²⁾ Department of Veterinary Science, National Institute of Infectious Diseases
³⁾ Department of Microbiology, Gifu University Graduate School, Medicine

Capnocytophaga canimorsus is capnophilic, slow-growing, filamentous, facultative aerobic. Gram-negative bacteria and is found in the oral cavity of dogs and cats. *C. canimorsus* sometimes causes septicemia, endocarditis and meningitis in people after dog or cat bite and fatality rate due to septicemia is estimated up to 30%. We encountered the case of septicemia due to *C. canimorsus* infection by a pet dog bite. After 3 days blood culture, any positive signals were not observed on BACTEC9050, however we performed Gram's stain and PCR of blood samples from culture bottles and obtained positive staining and specific amplification of 16S rRNA gene of *C. canimorsus*. Thereafter, isolated bacterial strains from subcultures of blood culture and wound tissues were also determined as *C. canimorsus* by PCR, genome sequencing analysis and biochemical test. This study suggests that early detection of bacteria by Gram's stain and PCR of the blood culture is helpful for the determination of primary causative organism and treatment of septic patient, even if positive signal is not observed on automated blood culture microbial detection system.

Capnocytophaga canimorsus 感染症

鈴木道雄

木村昌伸

今岡浩一

山田章雄

臨床分離株等の薬剤感受性を検討した。

材料と方法

Capnocytophaga canimorsus 感染症は犬・猫咬傷・搔傷に伴う感染症の1つである。発症は稀であるが、発症すると急速に敗血症に至る場合が多く、死亡率は約30%とされる。国内の大・猫の*C. canimorsus*保有状況は不明であったが、我々の調査では犬の74%、猫の57%が同菌を保有していた。*C. canimorsus*感染が疑われる際にオーリメンチン、メロペネムなどの抗生素質の使用が推奨される。

目的

結果

Capnocytophaga 菌は人や犬・猫の口腔内に常に在するグラム陰性桿菌であり、犬・猫は*C. canimorsus*と*C. cynodegmi*の2種を保有している。いずれも犬・猫による咬傷・搔傷に伴う感染症の原因菌となるが、重篤例、死亡例の大半は*C. canimorsus*感染による。感染しても発症することは稀であるが、発症すると症状が急激に悪化し敗血症に至る場合が多く、死亡率は約30%とされる¹⁾。国内での発生状況についてはほとんど情報がないが、近年、症例報告等を通じて国内症例についての知見も徐々に集まりつつある²⁾⁻⁵⁾。海外では犬・猫の*C. canimorsus*保有率を24～60%とする報告があるが⁶⁾、国内での状況は不明のため、今回我々は特異的PCR法を開発して犬・猫の*Capnocytophaga* 菌の保有状況を調査した。また、人の症例に関して情報をまとめるとともに、

犬の92%、猫の86%が*Capnocytophaga* 菌を保有しており、そのうち*C. canimorsus*の保有率は犬で74%、猫で57%であった(表1)⁶⁾。国内での症例は11例(うち死亡5例)を把握し、うち8症例から患者分離株の分離11株およびATCC基準株1株を合わせて計20株の薬剤感受性をディスク拡散法によって検討した。

表1-2 犬・猫の*Capnocytophaga* 菌の保有率
検体数 保有率(%)

	犬	猫
<i>C. canimorsus</i>	240	74
<i>C. cynodegmi</i>	279	86
<i>C. canimorsus</i> のみ	21	6
<i>C. cynodegmi</i> のみ	60	18
<i>C. canimorsus</i> and <i>C. cynodegmi</i>	219	67
<i>C. canimorsus</i> and/or <i>C. cynodegmi</i>	300	92
合計	325	
		○: 全株感受性, △: 一部の株が耐性, ×: 全株耐性

Michie SUZUKI (鈴木・ミチエ), Masanobu KIMURA, Koichi IMAOKA & Akio YAMADA
国立感染症研究所微生物学部
〒162-8640 東京都新宿区西早稲田1-23-1
6年前に感染症に着目し、犬・猫咬傷感染症の原因菌の一つである*Capnocytophaga* 菌についての研究を始めました。一般の知識度も低く、専門的な情報も少なめ、手探り状態でのスタートでしたが、その後、その実験が少しずつ明かになってきました。



発生年	年齢	感染源	感染経路	主な臨床症状	予後
2002	90代	猫	咬傷・搔傷	敗血症 意識障害	死亡
2004	60代	猫	搔傷	敗血症	死亡
2006	70代	犬	咬傷	敗血症・ DIC	回復
2007	70代	犬	搔傷	敗血症・腎臓炎	回復
	50代	猫	咬傷	敗血症・嘔吐	死亡
	60代	犬	咬傷	敗血症・ DIC	死亡
	50代	犬	咬傷	敗血症・ DIC	回復
	40代	犬	咬傷	敗血症・ DIC	回復
2008	70代	犬	咬傷	発熱・創部発赤	回復
	70代	野良猫	搔傷	敗血症	死亡
	70代	猫	搔傷	敗血症・ DIC	回復

分類	一般名	感受性
ペニシリン系	アモキシシリソ	△
	アンピシリソ	△
	オーグメンチン	○
	ビペラシリソ	○
セフェム系	セファゾリソ	△
	セフォトリキシム	○
	セフトリキソン	△
	モクサラクタム	△
カルバペネム系	イミペネム	○
	メロペネム	○
アミノグリコシド系	ゲンタマイシン	×
	ストレプトマイシン	×
マクロライド系	アジスロマイシン	△
	エリスロマイシン	△
テトラサイクリン系	ドキシサイクリン	○
	ミノサイクリン	○
キノロン系	ナリジクス	△
	オフロキサシン	○
	シプロフロキサシン	○
リンコマイシン系	クリンダマイシン	△
	クロラムフェニコール系	○
ポリペプチド系	ポリミキシソB	×
抗結核薬	リファンビシン	○
STI合剤	SXT	△

○: 全株感受性, △: 一部の株が耐性, ×: 全株耐性
1) Gaaster, W. & Lipman,L.J.A. (2010) : Vet. Microbiol 140, 339-346.
2) 今岡浩一 (2009) : 対医療微生物誌 13, 65-70.
3) 斎池一典, 江原和志, 宮坂淳子ほか (2005) : 日臨微生物誌 15, 9-14.
4) 太田翠香, 加藤敏広, 深川千佳子ほか (2009) : 感染症誌 83, 661-684.
5) 高澤春理, 出口香純, 阿部 勝ほか (2009) : 日新急性会誌 20, 226-231.
6) Suzuki,M., Kumura,M., Inouka,K., et al'': Vet. Microbiol. doi:10.1016/j.vetmic.2010.01.001.

子どもと動物との暮らしを考える



犬気をうけたきに感染症



はじめに

- 610 -

いでしょうか。だから感染することがあるおもな感染症について、要1にまとめました。

◆

【長編】接種やなめられることによる感染

炎や、近くのリンパ節がはれることもあります。症状が出るのが早いことが大きな特徴で、早いときは1時間以内に発症します。傷口や口のまわりをなめられても感染することがあります。注目が必須です。

動物販賣の 60%が犬によるとい
ふまれます。犬にかまれた場合、成人
では足をかまれることが多いのに
対して、幼児では頭や首をかまれる
ことが多い。感染症を発症しなくて
は直撃外傷を負うこともありま
すが、こちらは 40
かまれたときには、傷口を奥の方
まで流れてよく洗います。傷が大き
いときや深いときは医療機関を受診
します。同じく犬の口腔内在菌による
あるカブノサイトフーガ菌による
感染症もありますが、

犬大腸の4~20%で、傷口から感染侵入した病原体により感染症を発症するといわれています。もちろん、その口腔内常在菌によるバッソレラ菌が原因で、おもな症状は傷口の発赤、腫脹、熱感、痛みですが、皮下に特徴的な蜂窩織炎が発生します。また、この病気は、世界中で毎年5万人以上も死亡するといわれています。ただ現在、犬を含めて国内で狂犬病に感染している動物はいません。2006年に2名の患者様が亡くなりましたが、どちらもフィリピンで狂犬病の犬にかまれ、国内で治療を受けました。国立公衆衛生院（現・国立保健医療科学院）を経て、2002年より現職。歯医師。歯科医師としての執筆活動を始めた頃から、専門書や雑誌で執筆活動を続けています。

1 犬から感染することがあるおもな感染症

28 (568) チャイルドヘルス Vol. 13 No. 8

パスツレラ症	<i>Pasteurella multocida</i> , <i>P. canis</i> (3か月)	咬傷、なめられる 喉嚨過敏	周所のはれ、痛み、 喉嚨過敏	犬咬傷による感染症では 大咬傷に代表的
カブノサイトファーゲ症	<i>Capnocytophaga canimorsus</i> , <i>C. cynodegmi</i>	咬傷、なめられる 歯磨き粉の惡臭、 血液等への感染	咬傷、なめられる 化膿性、細菌性など インフルエンザ様、 肝臓、腎臓	乳幼児の患者は少ない 大の口腔内在菌
犬ブルセル症	<i>Bacillus canis</i>		喉嚨過敏、発熱、発熱、 その後発熱、下痢	国内の大の5年程度が感 染症を持つ
カンピロバクター症	<i>Campylobacter jejuni</i> , <i>C. coli</i>		喉嚨過敏	犬からの感染はほとんど ない
エルシニア症	<i>Yersinia enterocolitica</i> , <i>Y. pseudotuberculosis</i>		発熱、下痢、腹痛	犬は不顕性感染が多い
レアストビラ症	<i>Lepospira interrogans</i>	尿、尿で汚染した物 への感染	発熱、悪寒、筋肉痛、 腹痛	犬からも感染はみられ ない
狂犬病（現在、國內感染 はない）	<i>Rabies virus</i>	咬傷	発熱すると 100%死亡	狂犬病（円形脱毛、 発熱を示さず、被毛に行 く）、体部白帯（頭 皮疹）、ケルスス亢進
皮膚糸状菌症	<i>Microsporum canis</i> , <i>Trichophyton mentagrophytes</i>	癡癩	喉嚨過敏	不褪色、食欲不振、 発熱、下痢
エキノコカクス症	<i>Echinococcus multilocularis</i>		喉嚨過敏	肝臓に寄生、肝機能障 害、貧血
ウリサネホ虫症	<i>Diplostomum caninum</i>	感染ノミを飲み込む も、犬になめられる	感染症が無介	不褪色、食欲不振、 発熱、肝機能障害
犬糞吸虫症	<i>Dirofilaria immitis</i>			犬への予防接種が有効
大回虫症	<i>Toxocara canis</i>		喉嚨過敏	糞便中に虫糞を介して子 虫内共生、内臟移行型 (肝腫脹、脚炎)
東洋墨虫症	<i>Thelazia callipeda</i>			異物感、結膜炎が主 な原因、虫網炎、眼炎、 角膜炎
	<i>Sarcocystis sciabici</i>			乳幼児や高齢者が多い 近年は減少

発症したケースです。したがって、もし国内の犬ににかまれても狂犬病の危険はありません。

◆接觸による感染

皮膚糸状菌症（白癖）は、犬小孢子菌や毛髪菌など真菌類による感染症です。犬では脱毛、発赤、フケの付着など皮膚病変が現れる場合と、単に被毛に真菌が付着している場合があります。これらは感染だとスキンシップをすることでも人は感染します。頭部白斑（しらくも）は子ども

著者連絡先 〒162-8640 東京都新宿区戸山1-23-1 国立感染症研究所気管肺炎研究室

に多く、毛髪に覆われた部分にかゆみをともなう。フケの付着した円形の脱毛症がみられます。体部白髪（セニタムシ）は、体や四肢、顔面に周辺の盛り上がりがあります。出直後の新鮮部には感染性はないので、糞便の後始末をすることが多いです。糞便や部屋を清潔に保つことが重要です。犬は定期的に糞便検査を行ない、感染している場合は糞便としてテルスス兆候になることがあります。患者は子どもが多く、発赤、腫脹、痛みをともなう膿胞が多数出現し、やがて脱毛してかさぶたで覆われます。犬を清潔に保ち、皮膚病の症状がみられたら、動物病院で治療します。感染動物には接触しないこと、接觸した場合は手などさわったところをよく洗うことが重要です。発症した場合は手などさわったところをよく洗うことが重要です。糞便中に排泄されたものによる経口感染

カンピロバクター菌やエルシニア菌は、犬も高率に腸内に保菌しており、糞便中に排出されます。そのため、これに汚染した食品の喫食や感染します。発熱、下痢、腹痛を示します。犬回虫は、妊娠中は母犬の胎盤を通して子犬に感染します。成虫は生後2~3ヶ月の子犬に多くみられます。糞便中に排出され、1週間程度経過して、幼虫を口のまわりにためられたりして感染します。食欲不振や腹痛、下痢を示します。卵は人への感染力はありません。感染後、幼虫が體に移行し、

糞便の処理など、飼育環境を清潔に保つことが必要です。糞便症状を示すことがあります。糞便の後始末をすることが多いです。糞便や部屋を清潔に保つことが重要です。犬は定期的に糞便検査を行ない、感染している場合は糞便を用します。

ベクターを介した感染◆

糞便源動物から糞便原体人に伝播する無脊椎動物をベクターといいます。糞便状虫症は蚊がベクターとなっています。感染犬の血を吸った蚊が、検査で肺ガンと間違われて発見されることが多いようです。犬に対して、糞便をつくることが多いです。嘔吐、腹痛、筋肉痛を起こします。胸部X線検査で肺ガンと間違われて発見されることが多いようです。犬に対して、糞便をつくることがあります。予防薬を使用すること、ベクターである蚊の駆除や、蚊に刺されないようにするところが効です。

糞便症にならないためにには？◆

犬は、①大、②感染経路、③人、それに予防対策を考えることができます。

1) 大

・犬由来感染症にならないためにには、①大、②感染経路、③人、それに予防対策を考えることができます。

・糞便（家庭内）での順位づけをはっきりさせる（子どものほうが大よりも上位である）。

・ワクチンや予防薬を使用して、犬の病気を予防する。

2) 感染経路

- ・トイレのしつけをきちんとしめて、室内で糞便を防ぐためのいくつかのポイントを示しました。
- ・食べ残しのえさ、落ちた犬の毛などはすぐに掃除して、糞便場所を清潔に保つ。
- ・他の動物やベクターが外筋から侵入するのを防ぐ。

3) 人

- ・乳幼児だけを犬と一緒にしない（とくに5~6歳くらいまでは、必ず大人がそばにつきそう）。
- ・知らない犬、様子のおかしい犬には近づかない、手を出さない。
- ・犬を驚かせるようなこと、いやがることや、じゃまをしない（えさを食べている、寝ている、子犬の世話をしているときなど）。

(口のまわりをぬめきせる、口移しの

・糞便（家庭内）での順位づけをはっきりさせる（子どものほうが大よりも上位である）。

・ワクチンや予防薬を使用して、犬の病気を予防する。

2) 感染経路

- ・トイレのしつけをきちんとしめて、室内で糞便を防ぐためのいくつかのポイントを示しました。
- ・食べ残しのえさ、落ちた犬の毛などはすぐに掃除して、糞便場所を清潔に保つ。
- ・他の動物やベクターが外筋から侵入するのを防ぐ。

◆ ◆ ◆

近年は、家庭でも簡単にインターネット経由でいろいろな情報を手に入れることができます。ただだけでなく、動物一般からの感染症（動物由来感染症）についてもいろいろな情報が得られます。なかには誤った情報も見受けられますので、国立感染症研究所 (<http://www.nih.go.jp/niid/index.html>)、検疫所 (<http://www.forth.go.jp/>)、動物衛生研究所 (<http://niah.naro.affrc.go.jp/index-j.html>)、米国 CDC (<http://www.cdc.gov/healthypes/>)などの公的機関や、その病気にについて実際に關注・研究している大学や研究所の先生方が書かれたページを参考にされるといいでしょう。

◆ ◆ ◆

●参考文献●

- ・今岡浩一：犬にかまれた！どうしよう、チャイルドヘルス 10：688-771, 2007
- ・今岡浩一：犬にかまれた！どうしよう、チャイルドヘルス 13：65-70, 2009
- ・周本静男、山田真也（監修）：ズーム・シスハンドブック、メディアカルサイエンス、2009
- ・柳川慶夫、高山西秀（編）：子どもにかかる動物の病気、真興文庫、2005
- ・厚生労働省農政局：愛玩動物の衛生管理の徹底に関するガイドライン 2006. (<http://www.mhlw.go.jp/bunya/zenkou/kaikaku-kansenhou/02.html#02>)
- ・環境省自然環境局：人と動物の共通感染症に関するガイドライン、2007 (http://www.env.go.jp/nature/dobutsu/algo/2_dan/pampb.html)

実験動物の感染症

Capnocytophaga canimorsus 感染症

表1 *C. canimorsus* 感染症の特徴

A) 感染原因		原因		患者 (n = 102)		% 年齢		男 (n=112)		女 (n=41)		全体会員 (n=153)	
イヌ咬傷	動物との密な接触	60	59	0	1	1	1	2	2	1	1	2	1.3
ネコ咬傷・搔傷	- 不明	16	16	10	1	1	1	2	2	1	1	2	1.3
		9	9	20	11	1	1	12	12	8	17	17	7.8
B) 入院時診断		症状		患者 (n = 74)		% 年齢		男 (n=40)		女 (n=17)		全体会員 (n=153)	
敗血症	敗血症	32	43	50	28	11	39	25.5					
不明熱	不明熱	7	9	60	27	4	31	20.3					
腫脹炎	腫脹炎	7	9	70	14	7	21	13.7					
蜂窩織炎	蜂窩織炎	6	8	80	4	2	6	3.9					
敗血症性ショック	敗血症性ショック	5	7	90	0	1	1	0.7					
気道感染	気道感染	4	5	% 73.2		26.8		文獻6~8他より作成					
その他	その他	13	18										

イヌ咬傷の4~20%, ネコ咬傷の20~50%で、傷口から侵入した病原体により感染症を発症すると言われている。もちろん、アドウ球菌や連鎖球菌などヒトの皮膚などに常している菌によることが多いが、それ以外に、イヌ・ネコの口腔内細菌であるバストレラ菌 (*Pasteurella spp.*), 猫が保菌するバルトネラ菌 (*Bartonella henselae*), まき病 (*B. henselae*) が重要であるが、こちらも局所から所属シナハ節の炎症・腫脹が認められることが多い。それらに対して *C. canimorsus* 感染症は、局所症状を欠くことが多く、癆瘍・腹痛、倦怠感などの一般的症状から、重症例では急速に敗血症や腫脹炎に進展することがあり、さらに播種性血管内凝固症候群 (DIC) や敗血症性ショック、多臓器不全が進行すると生命にかかわる^{1,2)}。

Capnocytophaga 属菌はヒトや動物の口腔内、とくに歯根部に常在し、現在8菌種が知られている。特徴は二酸化炭素要求性のほか、銀毛を持たないが兼天培地上で滑走能を示すこと、栄養要求が厳しく、増殖が遅いことが挙げられる。グラム染色では糸状のグラム陰性桿菌として認められる。

ヒトの保有する *C. ochracea* を始めとする6菌種は、歯周病に関係するほか、ごくまれに日見的全般感染を起こし、心内膜炎、敗血症などをもたらすことがある。イヌ・ネコは *C. canimorsus*, *C. cynodegmi* の2種を口腔内に保有しているが、ヒトの臨床的には *C. canimorsus* 感染が重要である³⁾。主に、イヌ・ネコから咬傷、搔傷を受けた際に受傷部位から感染する。我々が首都圏の動物愛護センターのイヌ・ネコを対象に行なった調査では、イヌ74%, ネコ57%が *C. canimorsus* を保有していた^{4,5)}。また、品種、性別、年齢による保菌率に明らかな差は認められなかった。動物間では、互いに接触することにより感染することと考え

るためと思われるが、実患者数の増加の可能性も否定できない。厚生労働省は本年5月21日に情報提供として「カブノサイトファーガ・カニモルサス感染症に関するQ&A」を各自治体（管内医療関係者への周知を含む）や日本獣師会など関係各局に通知するとともに、厚生労働省ウェブサイト [<http://www.mhlw.go.jp/bunya/kenkou/kekakaku-kansenshou18/capnocytophaga.html>] への掲載を行なった。

診断は、一般的には血液や脳脊髄液を用いた菌分離・同定により行なわれるが、生育は遅い。その他の検査法としては、血液培養サンプルのグラム染色により、血中や好中球内に糸状のグラム陰性桿菌が認められることがある⁶⁾。また、遺伝子診断として、培養サンプルを用いて、直接、16S rRNA遺伝子をユニバーサルプライマーで増幅した後、塩基配列を解析する方法などがある。我々は *C. canimorsus*, *C. cynodegmi* 特異的PCRを開発し、特異的遺伝子検出や菌の同定を行なっている⁷⁾。

実際に *C. canimorsus* 感染症例は、すでに敗血症を含む全身症状を発症している段階で受診することが多い^{1,3)}。12例が2007年以降の発生と、近年の報告が多いのは、臨床現場で認知されできている。最初に文献報告されてから、まだ30余年ほどしかたっていないことから、新しい感染症

施される。治療には、ペニシリソ系の抗菌剤が効果を示す。ただし、 β -ラクタマーゼを産生することもあるので、 β -ラクタマーゼ阻害剤との合剤（オーバーメンチン、ユナシン）が第一選択となる。これはカブノサイドファーガ症に限らず、イヌ咬傷時の第一選択薬でもある。臨床分離株、イヌ・ネコ分離株を用いた我々の調査では、テトラサイクリン系、カルバペネム系にも感性である一方、ケンタマイシンなどアミノグリコシド系には耐性であり、セフェム系、マクロライド系やリンコマイシンに対しては耐性を持つ株も認められた。予防投薬については、深い貫通性の傷、靜脈やリンパ管のあるところ、骨や関節に近接もしくは達する傷、外科的処置を必要とする傷、免疫抑制剤者、などが適応となる。それ以外のケースについては適宜判断することになる。

*C. canimorsus*感染症に関する状況が少しづつ明らかになってきたが、感染・発症機序、あるいは疫学については依然として未知の部分が多い。これまで、日本を含め世界で、敗血症など重症化した症例のみが報告されることが多く、そのため致死率も30%にのぼっている^[6-8]。しかしながら、重症化しなかった、いわゆる報告するに至らなかつた患者もかなりの数いると考えられ、それらを含めると、実際には致死率に関しては見かけほど高くないと考えられる。事実、オランダで2003～2005年に確認された患者26名のうち、ICUは9名、死亡3名にとどまっている^[10]。また、患者数については、調査の進んでいるオランダやデンマークではそれぞれ年間、人口100万人に対する0.67、0.5人との報告がある^[6,10]。したがって、それを日本の人口1.27億人に当てはめると、年間60～80人前後の報告される症状を示す患者が多いと推定される。

いずれにしてもイヌ・ネコの口腔内常在菌で除

菌法も確立しておらず、かつ、ワクチンもない以上、感染予防のため的一般的な心得として、動物取り扱い時に感染リスクを減少させる注意、自身の健康を維持する努力、が大切になる。また、咬傷後に体調に異常を感じたらすぐに医療機関を受診し、咬傷・怪我歴を申告することが重要である^[1,9]。

参考文献

- 今岡浩一. 大、猫由来細菌感染症 医療雑誌, 13(1):65-70, 2009.
- Gaastra W. and Lipman, L. J. A. *Capnocytophaga canimorsus*. *Vet. Microbiol.*, 140:329-346, 2010.
- 鈴木道雄. イヌ・ネコ咬傷・擦傷と *Capnocytophaga canimorsus* 感染症. モダンメティア, 56(4):71-77, 2010.
- Suzuki M., Kimura M., Imaoka K., et al. Prevalence of *Capnocytophaga canimorsus* and *Capnocytophaga canimorgni* in dogs and cats determined by using a newly established species-specific PCR. *Vet. Microbiol.*, 144:172-176, 2010.
- Bobo R. A. and Newton E. J. A previously undescribed Gram-negative bacillus causing septicemia and meningitis. *Am. J. Clin. Pathol.*, 65:564-569, 1976.
- Janda J. M., Graves M. H., Lindquist D., et al. Diagnosing *Capnocytophaga canimorsus* infections. *Emerg. Infect. Dis.*, 12:340-342, 2006.
- Lion C., Escande F., Burdin J. C. *Capnocytophaga canimorsus* infections in human: review of the literature and cases report. *Eur. J. Epidemiol.*, 12(5):521-533, 1996.
- Pers C., Gahm-Hansen B., Frederiksen W. *Capnocytophaga canimorsus* septicemia in Denmark, 1982-1995: review of 39 cases. *Clin. Infect. Dis.*, 23(1):71-5, 1996.
- 細川直登. 大咬傷による敗血症. アガット感染症アワー, ラジオNIKKEI2009年4月24日放送. [\[http://radio848.rsp.net/abott/html/20090424.html\]](http://radio848.rsp.net/abott/html/20090424.html)
- van Dam A. P. and Jansz A. *Capnocytophaga canimorsus* infections in the Netherlands: a nationwide survey. *Clin. Microbiol. Infect.*, 2010 Feb 17. [Epub ahead of print]

境界領域から

Capnocytophaga canimorsusによる人獣共通感染症

鈴木 道雄* 今岡 浩一*

Key words
*Capnocytophaga canimorsus*感染症, イヌ咬傷, ネコ咬傷・搔傷, 取血症

I. *Capnocytophaga canimorsus*感染症とは
*Capnocytophaga canimorsus*感染症(以下、*C. canimorsus*感染症)の症例については、近年、国内の学会・学術誌などでも報告されるようになっており、医療関係者、あるいは一般の人々の間でもその認知度、関心が徐々に高まっている。2010年5月には、厚生労働省のwebサイトでも「カブノサイトファーガ・カニモルサス感染症に関するQ&A」が公表された¹⁾。*C. canimorsus*感染症はイヌ・ネコの口腔内常在菌を原因とした、イヌ・ネコ咬傷・搔傷感染症の一型である。同じくイヌ・ネコ咬傷・搔傷感染症であるバストラ症や猫ひつかき病で比較的多くの症例が知られているのに対し、*C. canimorsus*感染症についてはこれまで世界での文献的症例報告が約250例と、その数は限られている。しかしながら、これらの報告例の多くが敗血症に至った重症例で占められており、致死率は約30%にのぼる。以下に*C. canimorsus*感染症の概説および国内での状況を述べる。

II. イヌ・ネコ咬傷・搔傷に伴う感染症
 アメリカの統計データによると、アメリカでは年間に約470万人のイヌ咬傷事故があり、そのうち約80万人が医療機関を受診し、さらにそのうち約6,000人が入院加療を受けるとされる²⁾。わが国では年間約5,000件という報告があるが(環境省調べ)³⁾、この数字には事故のごく一部しか反映されていないと考えられ、国内での実際の件数はご

れを相当数上回ると推測される。世界で年間約5万人が死亡している狂犬病は、国内では1957年以来、海外で感染して帰国後に発症した、いわゆる輸入症例3例を除いてヒト・イヌともに発症例はない。したがって現在、国内ではイヌ咬傷によって狂犬病に感染するリスクはないと考えられるが、せんた動物の口腔内や皮膚常在菌、また受傷者自身の皮膚常在菌、あるいは土壤菌など種々の細菌に感染・発症することがある。たとえば、*Staphylococcus*属菌、*Streptococcus*属菌などのGram陽性菌や*Pasteurella*属菌、*Bartonella*属菌などのGram陰性菌、*Fusobacterium*属菌などの嫌気性菌がこれらの代表的なものである^{4),5)}。イヌでは咬傷の15~20%, ネコ咬傷では半数近くでなんらかの感染を伴うとされるが⁶⁾、その多くは創部に限局的なものである。しかしながら、*C. canimorsus*感染症は症例数は少ないものの、敗血症など全身症状を示す割合が高い。

患者は自らの家庭で飼育するイヌ・ネコから感染しているケースが多いが、郵便、新聞、宅配便などの配達、あるいは介護サービスなどで多くの家庭を訪問することを仕事としている人も感染の機会が多い。また、獣医師、獣医療補助者や動物取扱者もハイリスクグループと考えられる。

III. *Capnocytophaga*属菌の特徴
*Capnocytophaga*属菌は通常嫌気性のGram陰性桿菌であり、1979年に新しい属として確立し⁷⁾、

* Suzuki, Michio (主任研究官) / Imaoka, Koichi (第一室長) 国立感染研究所獣医学部(〒162-8640 東京都新宿区戸山1-23-1)

表1 *Capnocytophaga*属の自然宿主、性状、病原性

菌種名	常在する宿主	カターラー	オキシダーゼ	病原性
<i>C. ochracea</i>				
<i>C. gingivalis</i>				
<i>C. spinigena</i>	ヒト	陰性	陰性	
<i>C. haemolytica</i>				
<i>C. granulosa</i>				
<i>C. leadbetteri</i>				
<i>C. canimorsus</i>	イヌ・ネコ	陽性	陽性	敗血症、DIC、炎症はまれに全身感染 咬傷部位の局所感染が主、まれに全身感染
<i>C. cynodegmi</i>				

表2 イヌ・ネコの*Capnocytophaga*属の自然宿主

	イヌ	ネコ
<i>C. canimorsus</i>	74	57 (%)
<i>C. cynodegmi</i>	86	84
<i>C. co and/or C. cy</i>	92	86

※C. ca: *C. canimorsus*, C. cf. *C. cynodegmi*

現在は8菌種などっている(表1)。*C. ochracea*をはじめとする6種は、ヒトの口腔内常在菌であり、菌周病の病巣から検出されることが多いことから、菌周病菌として位置づけられているが、まれに日和見的に全身感染を起こし、電撃性歯疾患、心内膜炎など重篤な症状をもたらすことがある¹⁰。イヌ・ネコは*C. canimorsus*と*C. cynodegmi*の2種を保有している(表2)。以前は、前者がDF-2(Dysogenic Fermenter-2)、後者がDF-2-likeと呼ばれていたが、1990年に現在の分類が確立した⁹。*"canimorsus"*と*"cynodegmi"*は、前者がラテン語、後者がギリシャ語で、いずれも「イヌ咬傷」の意味であるが、イヌのはかにネコの口腔内にも常在している。両菌種ともヒトに病原性を有するが、敗血症などの全身症状を呈する重症例、死亡例のはほとんどは*C. canimorsus*感染によるものである。

*Capnocytophaga*属の特徴は二酸化炭素要求性を有すること、髪毛をもたないが寒天培地上滑走能を示すこと、栄養要求が厳しく、増殖が遅いことである。Gram染色による直接鏡検では糸状のGram陰性桿菌として認められる(図1)。生化学的にはヒトに常在する6菌種はオキシダーゼ試験、

いられる¹⁰。図1 *Capnocytophaga*属の自然宿主

IV. イヌ・ネコの*Capnocytophaga*属の自然宿主、性状、病原性
本感染症の原因菌、*C. canimorsus*がイヌ・ネコに常在することの特徴は、これらの動物が多く家庭で飼育されていることである。国内ではイヌ1,200万頭、ネコ1,000万頭(いわゆる外ネコを除く)が飼育されていると推計されている¹¹。われわれが2004年から2007年にかけて行った調査の結果、*C. canimorsus*はイヌ74%、ネコ57%が保有しており、また*C. cynodegmi*はイヌ86%、ネコ84%が保有していた¹⁰。

V. *C. canimorsus*感染症例の特徴

*C. canimorsus*感染症は、ヒトがイヌ・ネコと一緒にいることが多いと考えられるが、病原体が見出せていなかつたため、その実態は明らかでないようである。筆者がいくつかの文献を集めた。そのため、1976年に報告された敗血症・腎臓洗浄例¹²が、文献的に最初の症例とされており、それ以後30余年の間に、世界で約250例の症例が報告されている。ただし、報告されない症例や原因の特定に至らなかった症例も相当数あると考えられるが、どの程度か推測はむずかしく、実際の症例数は不明である。いざれにしても感染機会の多さに比べて感染成立率は低く、たとえ感染しても発症することは非常にまれであると考えられる。疫学的に、発症の割合は人口100万人あたり0.5人(デンマーク)、あるいは0.67人(オランダ)と推計されている¹³。しかしながら、発症すると全身症状が悪化し、短期間に敗血症など重篤な病態へと進行する場合が多い、感染源はイヌ・ネコであり、咬傷・搔傷部位からの感染が主である(表3-1)¹³⁻¹⁷。しかしながら皮膚・粘膜にともども病変や潰瘍がある場合に、その部位を舐められることによって感染した症例もあり^{13, 16}、また動物との過厚な接触歴がない(はつきりしない)症例もあるため¹³⁻¹⁷、感染の機会は咬傷・搔傷のみに限らないと考えられている。また、たとえばバスツレラ症では早ければ数時間で受傷部に発熱や夜

図2 *C. canimorsus*のGram染色像(写真中のスケールバーは10μm)

本感染症の潜伏期間は1~14日、平均的には7日程度である。患者は発熱、悪寒、吐き気、筋肉痛、腰痛、意識混濁などの症状を示す^{13, 20}。受傷後、自らから感染した例も多い。重症例では受傷時にすでに敗血症の症候がみられることが多く、発症する度に感染成症は身で簡単に済ませていたような小さな傷と擦過性血管内凝固症候群(DIC)や敗血症性ショック、多臓器不全など致命的治療の必要な重篤な症候が発現する傾向がある(表3-1)。10例以上に短時間で至る傾向がある(表3-1)。これまで報告された症例をまとめている欧米諸国ので学的報告では致死率はそれぞれ12~33%であり^{13, 14, 15, 17}、これで致死率は約30%である(表3-1)²⁰。発熱を主症とする症例の致死率は約30%である(表3-1)²⁰。しかし感染を起こした例が報告されている²⁰。

患者は免疫機能が低下している。いわゆる immunocompromised hostが多く、基礎疾患としている²⁰。

表3 *C. canimorsus* 感染症例の疫学的データ
I) 感染原因(n=118)

原因	患者数	%
イス咬傷	72	61
動物との密接な接触	19	16
ネコ咬傷・搔傷	9	8
不明	18	15

II) 入院時診断(n=70)

症状	患者数	%
敗血症	29	41
不明熱	7	10
膿腫炎	7	10
蜂窓炎	6	9
敗血症性ショック	5	7
気道感染	4	6
その他	12	17

III) 伝播(n=129)

IV) 年齢・性別

V) 年齢

(代)

(n=112)

(n=41)

(n=153)

男

女

全体会

%

%

%

%

%

%

%

%

症敗血症の発症頻度や致死率は加齢とともに高くなり、致死率は30%程度(40歳で約25%, 70歳で約30%)であることから²³。 *C. canimorsus*感染症報告例における致死率30%という数字はこれらの傾向、数字と重なるものと考えることができる。なお、本感染症のヒトト感染症はない。

VI. 国内の*C. canimorsus*感染症例報告

国内における文献的報告は、1993年に原因菌を定めた報告²⁴として報告されている。イス咬傷による敗血症例が最初である²⁴。その後しばらく報告がなかったが、2002年にはネコ咬傷によつて感染した女性の国内初の死亡例が報告された²⁵。これまでに計18例の文献的報告があり、うち死亡例は6例となつており、受傷後2~7日で発症しているケースが多い。患者の年齢は22~95歳で、60歳以上の患者が半数超の10例を占め、現病歴については、半数超が腫瘍、肝炎、糖尿病などの中程悪歴を有しているが、とくに記載のない症例も少なくない。感染原因是イス咬傷が9例、ネコ咬傷・搔傷が7例、原因不詳が2例となつている(表4)。

海外の報告では大半がイス咬傷例であり、ネコ咬傷・搔傷例が半数近くを占めていることは、国内症例の特徴である。国内での報告例数は直近の5年間ほどどの間に多く、一見すると症例が増加している印象を与えるが、実際には、これまでなかなかかしながら、本菌は生育が遅いため、通常の培養期間では菌の検出に至らないことが多いことも考慮し、イス・ネコ咬傷・搔傷の履歴がある場合はその旨を検査室に伝え、培養期間を延長することで検出率を高めることができる²⁶。また、*C. canimorsus*感染が疑われる際には自動培養装置による検出のみならず、塗沫の検鏡や遠伝子検査を併用することでも検出につながることがある。たとえば、血液培養サンプルのGram染色による検鏡によって、血液中や好中球の細胞質内に本菌が認められることがあり²⁷。また、PCR法を用いて培養サンプルから直接的に遺伝子検出を試みることで検出・同定に成功した例もある²⁸。PCR法には特異的プライマーが利用できるほか¹⁰、16S rRNA遺伝子をユニバーサルプライマーで增幅した後、その增幅産物の塩基配列を解析する方法などがある²⁹。血清学的診断法は確立していない。

※文献13,14,16,17および表4に示した症例から算計

部に腫瘍などがあつても、受傷部局所からは*Pasteurella*属菌、*Staphylococcus*属菌などが分離されるが、*Capnocytophaga*属菌は分離されず、全身症状を呈して後に血液培養から*C. canimorsus*が分離されるケースなどもあるので、重複な全身症状が現れた際は受傷部局所の起炎菌に捉われきれないほうがよい。局所感染の陰に全身感染の萌芽が隠れいる場合もあることに注意を要する。

C. canimorsusの分離・同定のためには、一般的に血液や脳脊髄液を培養して菌分離を試みる。受傷部位から菌が分離されることもある(表5)。しかししながら、本菌は生育が遅いため、通常の培養期間では菌の検出に至らないことが多いことも考慮し、イス・ネコ咬傷・搔傷の履歴がある場合はその旨を検査室に伝え、培養期間を延長することで検出率を高めることができるのである。また、*C. canimorsus*感染が疑われる際には自動培養装置による検出のみならず、塗沫の検鏡や遠伝子検査を併用することでも検出につながることがある。たとえば、血液培養サンプルの細胞質内に本菌が認められることがあつても、PCR法を用いて培養サンプルから直接的に遺伝子検出を試みることで検出・同定に成功した例もある²⁸。PCR法には特異的プライマーが利用できるほか¹⁰、16S rRNA遺伝子をユニバーサルプライマーで增幅した後、その增幅産物の塩基配列を解析する方法などがある²⁹。血清学的診断法は確立していない。

※文献13,14,16,17および表4に示した症例から算計

表4 *C. canimorsus*感染症国内症例

発生年	年齢	性別	感染源	感染経路	主な臨床症状	予後
1993*	40代	男	イス	咬傷	敗血症・DIC・四肢動脈塞栓症	回復
2002	90代	女	男	ネコ	咬傷・搔傷	死亡
2004	60代	男	女	ネコ	敗血症	死亡
2004	40代	女	男	ネコ	創部腫脹・癰瘍	回復
2006	70代	男	イス	咬傷	敗血症・DIC・多臓器不全	回復
2007	70代	女	ネコ	咬傷	敗血症・DIC	死亡
2008	50代	男	イス	咬傷	電擊休克・DIC	回復
2008	60代	男	イス	咬傷	敗血症・DIC・黄疸・多臓器不全	死亡
2009	50代	男	イス	咬傷	敗血症・DIC	回復
2009	40代	男	イス	咬傷	敗血症・DIC	回復
2009	70代	男	ネコ	咬傷	発熱・創部発赤	回復
2009	70代	男	ネコ	咬傷	敗血症	死亡
2009	20代	男	イス	咬傷	敗血症	回復
2009	60代	男	イス	咬傷	敗血症	回復

※文献13,14,16,17および表4に示した症例から算計

VII. *C. canimorsus*感染症の治療

イス・ネコ咬傷・搔傷時には、必要に応じて抗生物質の予防的な投与を行うが、その際には*C. canimorsus*だけでなく、さまざまな細菌が起炎菌である可能性を考え、Gram陽性菌、陰性菌の広い範囲をカバーする。抗菌スペクトルの広い抗菌薬を投与することが大切である。イギリスの文献ではアモキシリン/クラブラン酸(オーダメン

表6 *C. canimorsus*の薬剤感受性

分類	感覚	耐性
ペニシリン系	ペニシリン アンピシリン アモキシシリソ オーダーゲンチン ビペラシリン	△ △ △ ○ ○
セファム系	セファブリン モクサラクタム セフトリアキソソ セフォタキシム	△ △ △ ○
カルバベネム系	イミペネム メロペネム	○ ○
アミノグリコシド系	ゲンタマイシン ストレptomycin	×
マクロライド系	アジスロマイシン エリスロマイシン	△ △
テトラサイクリン系	テトラサイクリン ドキシサイクリン ミノサイクリン	○ ○ ○
キノロン系	ナリジクス酸 ニーキノロン系 オフロキサシン シプロフロキサシン	△ ○ ○
ニュコマイシン系	クリンダマイシン	△
クロラムフェニコール系	クロラムフェニコール ポリミキシンB リファンビシン SXT	○ ○ △

・ディスク拡散法による。○：全株感受性、△：一部の株が耐性、×：全株耐性

て表6に示した。ペニシリン系、テトラサイクリン系、第3世代セフェム系、ニューキノロンなどの多くの抗菌薬に感受性であったが、β-ラクタマーゼを產生し、ペニシリソなどには耐性を示す菌株もあつた。マクロライド系、リンコマイシン系などにも一部耐性の株があつた。アミノグリコシド系には耐性であつた³¹⁾。したがつて、本感染症の予防・治療に用いる抗菌薬の選択として、ペニシリソ系の抗菌薬を用いる際にはβ-ラクタマーゼ阻害薬との合剤であるアモキシシリソ/クラブラン(オーダーゲンチン)やアンピシリソ/スルバクタム(ユナシン)を用いることが望ましい、そのほか、ミノサイクリン、ドキシサイクリン、セオタキシム、シプロフロキサシンなどが有効である。

おわりに

*C. canimorsus*感染症の感染・発症メカニズムには未解明の点が多い。これまでに報告された症例数も限られており、実際の症例数、重症症例以外に経症例がどれほどあるかなど、疫学的情報は十分ではない。今後、より多くの症例の情報を収集し、感染・発症のリスク因子についてさらに明らかにしていく必要がある。

わが国では今後も人口の高齢化が進み、本感染症に対するハイリスクグループに属する人々が増加することが予想される。医療関係者や一般の人々に対して、イス・ネコ咬傷・搔傷感染症の1つとしての*C. canimorsus*感染症についての啓発を地道に、継続的に行っていくことが重要である。

チソの経口投与が推奨されており、傷口からの破傷風感染防止のため破傷風トキソイドの接種を併せて行うことも奨められている³⁰⁾。海外での事例においては狂犬病に対する予防接種も必要に応じて実施される。

発症して重症化する場合は、その進行が急激で、起炎菌の同定を待たずに敗血症に対する迅速な救命治療が必要とされることが多い。治療法としては抗菌薬の投与のほか、昇圧剤の投与、血漿交換療法などさまざまな対症療法が実施される。

*C. canimorsus*の薬剤感受性については、まとめ

- ンス・インターナショナル、東京、p.846, 2003
6) Leadbetter, E. R. et al.: Arch Microbiol. 122 : 9, 1979
7) 古西清司ほか著: 臨床微生物学 第3版、南山堂、p.48, 2007
8) De S, S. et al.: J Infect. 54 : e107, 2007
9) Brenner, D.J. et al.: J Clin Microbiol. 27 : 231, 1989
10) Suzuki, M. et al.: Vet Microbiol. 144 : 172, 2010
11) 一般社団法人ペットフード協会ウェブサイト:
<http://www.petfood.or.jp/data/char2009/>
12) Bobo, R.A., Newton, E.J.: Am J Clin Pathol. 65 : 564, 1976
13) Persi, C. et al.: Clin Infect Dis. 23 : 71, 1996
14) van Dam, A. P., Janisz, A.: Clin Microbiol Infect. 2010 [Epub ahead of print]
15) Valtonen, M. et al.: Eur J Clin Microbiol Infect Dis. 14 : 520, 1995.
16) Lion, C. et al.: Eur J Epidemiol. 12 : 521, 1996
17) Janda, J. M. et al.: Emerg Infect Dis. 12 : 340, 2006
18) Holt, E. et al.: J Clin Microbiol. 30 : 2984, 1992
19) 丸山総一: Modern Media. 50 : 203, 2004
20) Gaastra, W., Lipman, L.: Vet Microbiol. 140 : 339, 2010
21) Le Moal, G. et al.: Clin Infect Dis. 36 : e42, 2003
22) de Smet, M. D. et al.: Am J Ophthalmol. 109 : 240, 1990
23) 舟田 久輔: 救血症の解説と治療戦略. 医療ジャーナル社. 大阪, p.32, 2006
24) 田中利明(ほか): ICUとCCU 177(臨機春): 266, 1993
25) 菊池一義(ほか): 日臨微生物誌 15 : 9, 2005
26) 竹川啓史(ほか): 日臨微生物検出情報 31 : 109, 2010
27) 高見眞希(ほか): 医學検査 58 : 511, 2009
28) 太田求磨(ほか): 感染症誌 63 : 661, 2009
29) 古谷明子(ほか): 日臨微生物誌 19 : 148, 2009
30) Morgan, M., Palmer, J.: BMJ. 334 : 413, 2007
31) 鈴木道雄(ほか): 臨医新報 63 : 217, 2010

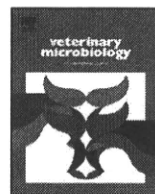
- ・文献
1) 厚生労働省webサイト: <http://www.mhlw.go.jp/bunya/kenkou/kekakaku-kaisenshoush/1/capnocytophaga.html>
2) Centers for Disease Control and Prevention (CDC): MMWR Morb Mortal Wkly Rep. 52 : 605, 2003
3) 環境省webサイト: <http://www.env.go.jp/council/14animal/y14026/man01.pdf>
4) Talan, D. A. et al.: N Engl J Med. 340 : 85, 1999
5) 福井次次ほか監修: ハリソン内科学、メディカル・サイエ



Contents lists available at ScienceDirect

Veterinary Microbiology

journal homepage: www.elsevier.com/locate/vetmic



Research article

Multi-locus sequence analysis reveals host specific association between *Bartonella washoensis* and squirrels

Kai Inoue^a, Hidenori Kabeya^a, Keiko Hagiya^a, Michael Y. Kosoy^b, Yumi Une^c, Yasuhiro Yoshikawa^d, Soichi Maruyama^{a,*}

^a Laboratory of Veterinary Public Health, Department of Veterinary Medicine, College of Bioresource Sciences, Nihon University, 1866 Kameino, Fujisawa, Kanagawa 252-8510, Japan

^b Bartonella Laboratory, Division of Vector-Borne Infectious Diseases, Centers for Disease Control and Prevention, Fort Collins, CO, USA

^c Laboratory of Veterinary Pathology, School of Veterinary Medicine, Azabu University, Kanagawa, Japan

^d Department of Biomedical Science, Graduate School of Agricultural and Life Sciences, University of Tokyo, Tokyo, Japan

ARTICLE INFO

Article history:

Received 13 January 2010

Received in revised form 8 August 2010

Accepted 16 August 2010

Keywords:

Bartonella washoensis

Genetic diversity

Multi-locus sequence analysis (MLSA)

Phylogenetic relationship

Sciuridae

Squirrel

ABSTRACT

To clarify phylogenetic relationships and genetic diversity among *Bartonella washoensis* strains obtained from squirrels, multi-locus sequence analysis (MLSA) with the 16S rRNA, *ftsZ*, *gltA*, *groEL*, *ribC*, and *rpoB* genes was applied for 20 strains of *B. washoensis* isolated from five genera of squirrels (*Tamias*, *Tamiasciurus*, *Glaucomys*, *Sciurus*, and *Spermophilus*) within the family Sciuridae. Sequence similarities in the concatenated sequences of *B. washoensis* strains from squirrels of different genera ranged from 94.7% (*Sciurus* vs. *Spermophilus*) to 98.4% (*Tamiasciurus* vs. *Glaucomys*). Phylogenetic trees based on the concatenated sequences revealed that *B. washoensis* strains formed five distinct clades and each clade correlated with the genus of squirrel from which the strains were originally obtained. The discrimination was supported by 100% bootstrap values and posterior probabilities, respectively. These results suggest that *B. washoensis* strains may have co-soribated with their squirrel hosts and provide new insights into the application of the MLSA to identify sources of *B. washoensis* infection with accuracy.

© 2010 Elsevier B.V. All rights reserved.

1. Introduction

Bartonella washoensis is Gram-negative, fastidious, facultative intracellular bacteria and was first isolated from a human patient with fever and myocarditis in Washoe County, Nevada in 1995 (Kosoy et al., 2003). Subsequently, the organism was found in California ground squirrels (*Spermophilus beecheyi*) with a high prevalence of infection (>17%) in the same county (Kosoy et al., 2003). The partial DNA sequences of the 16S rRNA, *gltA*, and *groEL* genes of *B. washoensis* strains obtained from ground squirrels were identical to those from the human patient, suggesting that the organism is zoonotic and the

ground squirrels are the natural reservoirs of the pathogen in western USA (Kosoy et al., 2003). In the same year, *B. washoensis* was isolated from a dog with mitral valve vegetative endocarditis and the sequences of several genes of the strains were identical to those of *B. washoensis* from the human and the California ground squirrels (Chomel et al., 2003). Thus, *B. washoensis* is suggested to be able to infect several species of mammals.

It has been reported that squirrels in various areas have been infected with *B. washoensis* (Bown et al., 2002; Kosoy et al., 2003; Jardine et al., 2005; Bai et al., 2008; Inoue et al., 2009b). However, the phylogenetic relationships and the genetic diversity of *B. washoensis* strains of among various genera of squirrels have not been investigated to date.

In the present study, we analyzed 20 *B. washoensis* strains from 5 genera of squirrels by using multi-locus sequence analysis (MLSA) of 6 housekeeping genes to

* Corresponding author. Tel.: +81 466 84 3386; fax: +81 466 84 3386.
E-mail address: maruyama.soichi@nihon-u.ac.jp (S. Maruyama).

clarify the relationship between genetic diversity of the isolates and host squirrels.

2. Materials and methods

2.1. *B. washoensis* strains and growth conditions

A total of 20 *B. washoensis* strains were analyzed in this study. Nineteen strains were isolated from wild squirrels that had been imported as pets into Japan from China or North America between June 2004 and October 2007 (Inoue et al., 2009b). Three strains from three individuals of six squirrel species, i.e. the Richardson's ground squirrel (*Spermophilus richardsonii*), the Columbia ground squirrel (*Spermophilus columbianus*), the Daurian ground squirrel (*Spermophilus dauricus*), the American red squirrel (*Tamiasciurus hudsonicus*), the Southern flying squirrel (*Glaucomys volans*), and the Siberian chipmunk (*Tamias sibiricus*), and a single strain that had been isolated from a Hokkaido squirrel (*Sciurus vulgaris orientis*) were used in this study. The 19 strains were confirmed to form a cluster with *B. washoensis* strain nvh1 from a human patient in the phylogenetic analysis based on a portion of the *gltA* gene (Inoue et al., 2009b). Also included in this study was *B. washoensis* strain Sb944nv, which was isolated from a California ground squirrel (*Spermophilus beecheyi*) in the USA (Kosoy et al., 2003) and had 16S rRNA, *gltA*, and *groEL* gene sequences identical to those from *B. washoensis* strain nvh1 (Table 1).

The cultures were grown on heart infusion agar plates (DIFCO, MI, USA) containing 5% defibrinated rabbit blood. The plates were incubated at 35 °C in a 5% CO₂ atmosphere for 14 days and harvested bacteria were used for DNA extraction.

2.2. DNA extraction and PCR amplification

Genomic DNA was extracted from each strain using an Instagene Matrix (Bio Rad, CA, USA). Partial 16S rRNA, *ftsZ*, *gltA*, *groEL*, *ribC*, and *rpoB* genes were amplified by PCR. The specific primers used and the PCR conditions for 16S rRNA (Heller et al., 1997), *ftsZ* (Zeaiter et al., 2002b), *gltA* (Norman et al., 1995), *groEL* (Zeaiter et al., 2002a), *ribC* (Inoue et al., 2009a) and *rpoB* (Renesto et al., 2001) amplification were described previously.

2.3. DNA sequencing and phylogenetic analysis

The PCR products were purified using a Spin Column PCR Product Purification Kit (Bio Basic, Ontario, Canada) and were sequenced directly using specific sequencing primers for 16S rRNA (Heller et al., 1997), *ftsZ* (Zeaiter et al., 2002b), *gltA* (Norman et al., 1995), *groEL* (Zeaiter et al., 2002a), *ribC* (Inoue et al., 2009a) and *rpoB* (Renesto et al., 2001). All novel sequences were submitted to GenBank and accession numbers were obtained (Table 1).

The DNA sequence datasets of the six loci (16S rRNA, *ftsZ*, *gltA*, *groEL*, *ribC*, and *rpoB*) of all of the *B. washoensis* strains and those of other known rodent-associated *Bartonella* spp., including *B. birtlesii* CIP106294^T (AF204274, AF467762, AF204272, AF355773, AY116632, and AB196425), *B. doshiae* NCTC12862^T (Z31351, AF467754, Z70017, AF014832,

AY116627, and AF165991), *B. elizabethae* ATCC49927^T (L01260, AF467760, Z70009, AF014834, AY116633, and AF165992), *B. grahamii* NCTC12860^T (Z31349, AF467753, Z70016, AF014833, AY166583, and AF165993), *B. phoebeensis* CIP107707^T (AY515119, AY515135, AY515126, AY515129, AB298328, and AY515132), *B. rattimassiliensis* CIP107705^T (AY515120, AY515133, AY515124, AY515127, AB298327, and AY515130), *B. taylorii* CIP107028^T (Z31350, AF467756, Z70013, AF304017, AY116635, and AF165995), *B. tribocorum* CIP105476^T (AJ003070, AF467759, AJ005494, AF304018, AB292600, and AF165996), *B. vinsonii* subsp. *arupensis* ATCC700727^T (AF214558, AF467758, AF214557, AF304016, AY116631, and AY166582), and *B. vinsonii* subsp. *vinsonii* ATCCVR-152^T (M73230, AF467757, Z70015, AF014835, AY116636, and AF165997), were aligned using Clustal X version 2.0 (Larkin et al., 2007) and were combined. The phylogenetic analyses were performed with the maximum likelihood method (ML), neighbor-joining method (NJ), and Bayesian analyses based on the concatenated sequences of the six loci. *Bartonella bacilliformis* ATCC35685^T (Z11683, AB292602, AB292601, AY664491, AJ236918, and AF165988) was chosen as an out-group reference in each analysis. The ML tree was constructed using PAUP* 4.0β10 (Swofford, 2002). The Tamura and Nei model (Tamura and Nei, 1993) with the assumption that some sites are invariable and others are variable following a discrete gamma distribution (TrN + I + Γ model) was selected for appropriate substitution model by Modeltest 3.7 (Posada and Crandall, 1998) based on hierarchical likelihood ratio tests (hLRT). Heuristic searches were executed using the tree-bisection-reconnection (TBR) branch-swapping algorithm for 10 random additions of taxa. Bootstrap analysis was carried out on 1000 replications of the heuristic search with the TBR branch-swapping algorithm (Felsenstein, 1985). The NJ tree (Saitou and Nei, 1987) was constructed with the Jukes-Cantor parameters model (Jukes and Cantor, 1969) using PAUP* 4.0β10. Bootstrap analysis was carried out on 1000 replications of the dataset. Bayesian inference was conducted using MrBayes 3.1.2 (Huelsenbeck and Ronquist, 2001; Ronquist and Huelsenbeck, 2003). The General Time Reversible (GTR) model + I + Γ (Yang, 1994) was selected by MrModeltest 2.2 (Nylander, 2004) based on hLRT. Four chains of Markov Chain Monte Carlo algorithms were performed for 3,000,000 generations, sampled every 100 generations, and the first 25% (750,000 generations) of the trees were discarded as burn-in. The remaining generations were used to construct a 50% majority-rule consensus tree and to calculate posterior probabilities for each node in the Bayesian tree. In the ML and NJ trees, we consider nodes with >70% bootstrap as well supported (Hillis and Bull, 1993). In the Bayesian tree, only nodes with >95% posterior probabilities are considered significant.

3. Results

The 20 analyzed *B. washoensis* strains were classified into 8, 15, 16, 18, 18, and 17 genotypes for 16S rRNA, *ftsZ*, *gltA*, *groEL*, *ribC*, and *rpoB*, respectively (Table 2). The sequence similarities between the examined strains and other known rodent-associated *Bartonella* spp. ranged 98.5–99.2% for 16S

Table 1
Origins of 20 *B. washoeensis* strains used for MLSA and the Genbank accession numbers of six housekeeping genes.

Strain	Origin	Host animal	Geographical location	GenBank accession nos.					
				16S rRNA	ftsZ	gtaA	groEL	ribC	rpoB
Sb944nv	<i>Spermophilus beecheyi</i>	North America	AB292597	AB292598	AF470616	AF484066	AB292599	AB292596	
RJ21-1	<i>Spermophilus richardsonii</i>	North America	AB519060	AB519067	AB444959	AB519081	AB519098	AB519115	
RJ30-1			Identical to RJ21-1	AB444955	AB519082	AB519099	AB519116	AB519116	
RJ33-1			Identical to RJ21-1	AB444960	AB519083		AB519100	Identical to RJ30-1	
CJ22-1	<i>Spermophilus columbianus</i>	North America	AB519068	AB444956	AB519084	AB519101	AB519117	AB519117	
CJ23-2			Identical to RJ21-1	AB519069	AB444961	AB519085	AB519102	AB519118	
CJ25-1			Identical to RJ21-1	AB519070	AB444957	AB519086	AB519103	AB519119	
DR1-1	<i>Spermophilus dauricus</i>	China	AB519061	AB519071	AB444962	AB519087	AB519104	AB519120	
DR3-1			AB519062	AB519072	Identical to DR1-1	AB519088	AB519105	AB519121	
DR10-1			Identical to DR1-1	AB519073	Identical to DR1-1	AB519089	AB519106	Identical to DR3-1	
SR22-1	<i>Tamias sibiricus</i>	China	AB519063	AB519074	AB444968	AB519090	AB519107	AB519122	
SR24-1			AB519064	AB519075	AB444965	AB519091	AB519108	AB519123	
SR25-1			AB519065	Identical to SR24-1	AB444964	AB519092	Identical to SR24-1	AB520713	
AR2-2	<i>Tamiasciurus hudsonicus</i>	USA	AB519076	AB444970	AB519093	AB519109	AB519124	AB519124	
AR4-1			Identical to RJ21-1	AB519077	AB444971	AB519094	AB519110	AB519125	
AR15-2			Identical to RJ21-1	AB519078	Identical to AR4-1	AB519095	AB519111	AB519126	
AM2-1	<i>Glaucomys volans</i>	USA	AB519079	AB444972	AB519096	AB519112	AB519127	AB519127	
AM5-1			Identical to Sb944nv	Identical to AM2-1	Identical to AM2-1	Identical to AM2-1	AB519113	Identical to AM2-1	
AM9-1			Identical to Sb944nv	Identical to AM2-1	AB444973	Identical to AM2-1	AB519128	AB519128	
ER14-3	<i>Sciurus vulgaris orientis</i>	China	AB519066	AB444974	AB519080	AB519097	AB519114	AB519129	

Table 2Sequence similarity of six housekeeping genes and the concatenated sequence between 20 *B. washoensis* strains and known rodent-associated *Bartonella*.

Gene	Length (bp)	No. of genotype	Sequence similarity (%) by:	
			Inter-species of rodent-associated <i>Bartonella</i>	Intra-species of <i>B. washoensis</i>
16S rRNA	1350	8	98.5–99.2	99.2–100
<i>ftsZ</i>	788	15	88.1–93.3	93.8–100
<i>gltA</i>	328	16	86.3–93.3	91.2–100
<i>groEL</i>	1185	18	86.3–92.9	93.6–100
<i>ribC</i>	618	18	80.4–88.5	88.2–100
<i>rpoB</i>	825	17	87.3–91.2	92.4–100
Concatenated	5092	20	89.8–93.1	94.7–99.9

rRNA, 88.1–93.3% for *ftsZ*, 86.3–93.3% for *gltA*, 86.3–92.9% for *groEL*, 80.4–88.5% for *ribC*, and 87.3–91.2% for *rpoB*, respectively. The sequence similarities within examined strains of *B. washoensis* showed similarities ranging from 99.2–100% for 16S rRNA, 93.8–100% for *ftsZ*, 91.2–100% for *gltA*, 93.6–100% for *groEL*, 88.2–100% for *ribC*, and 92.4–100% for *rpoB*, respectively. The sequence similarities of the concatenated sequence (5092 bp) of the six loci between *B. washoensis* strains and other known rodent-associated

Bartonella spp. ranged from 89.8% to 93.1% and all 20 strains were individually discriminated in the range from 94.7% to 99.9% similarities (Table 2).

In the phylogenetic tree based on the concatenated sequences, similar tree topologies of 20 *B. washoensis* strains and other known rodent-associated *Bartonella* spp. were obtained by ML, NJ, and Bayesian analyses, respectively. All *B. washoensis* strains formed a large clade separated from other known rodent-associated *Bartonella*

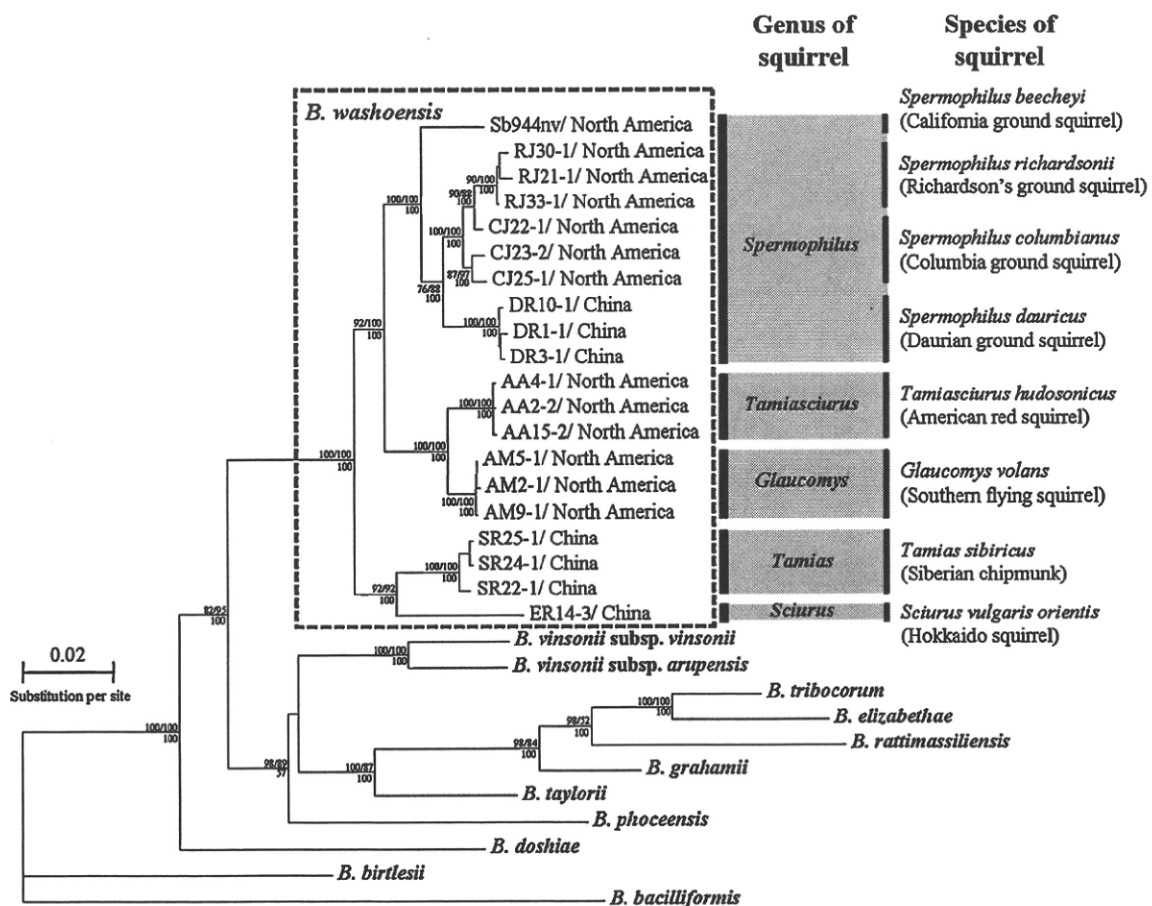


Fig. 1. The ML tree based on the aligned 5092 bp of concatenated sequence of six housekeeping genes, including 16S rRNA, *ftsZ*, *gltA*, *groEL*, *ribC*, and *rpoB* from 20 *B. washoensis* strains and known rodent-associated *Bartonella* spp. For the *Bartonella* *bacilliformis* strain ATCC35685^T sequences were used as an out-group. Numbers above the branches indicate the bootstrap values (1000 replications) based on ML/NJ analyses and the numbers below branches are Bayesian posterior probabilities.

Table 3Sequence similarity matrix based on the concatenated sequence of six housekeeping genes among 20 *B. washoensis* strains by squirrel genus.

Genus of squirrel (No. of strains)	Percent sequence similarity (No. of bp differences) with:			
	<i>Spermophilus</i>	<i>Tamiasciurus</i>	<i>Glaucomys</i>	<i>Tamias</i>
<i>Spermophilus</i> (n = 10)	97.1–99.8 (11–148) ^a			
<i>Tamiasciurus</i> (n = 3)	96.0–96.3 (186–204)	99.9 (6–7)		
<i>Glaucomys</i> (n = 3)	96.2–96.6 (175–195)	98.4 (80–83)	99.9 (3–6)	
<i>Tamias</i> (n = 3)	95.7–96.1 (199–221)	95.5–95.6 (223–229)	95.8–95.9 (211–214)	99.5–99.9 (6–26)
<i>Sciurus</i> (n = 1)	94.7–95.1 (248–269)	94.9–95.0 (256–260)	94.9–95.0 (255–258)	96.2 (192–194)

^a The percentage of sequence similarity in gray cells indicates the intra-species sequence similarity for the genus of squirrel.

spp. and the discrimination was supported with 100% bootstrap values (BV) in ML and NJ analyses and 100% Bayesian posterior probabilities (BPP), respectively (Fig. 1).

In the clade of *B. washoensis*, the strains formed five distinct clades that correlated with the genus of the host squirrel from which the strains were originally obtained, representing clades for *Spermophilus*, *Tamiasciurus*, *Glaucomys*, *Tamias*, and *Sciurus*. These discriminations were also supported by 100% BV in ML and NJ analyses and 100% BPP. Strain ER14-3, which was obtained from *Sciurus vulgaris orientis*, formed a large clade with those from *Tamias sibiricus* with 92% BV in ML and NJ analyses and 100% BPP. Strains from four species of *Spermophilus*, including *Sp. beecheyi*, *Sp. richardsonii*, *Sp. columbianus*, and *Sp. dauricus* consisted of a large clade. Although strain CJ22-1, which was obtained from *Sp. columbianus*, formed a clade with strains from *Sp. richardsonii*, most strains formed sub-clades with the relevant host squirrel species (Fig. 1).

The sequence similarity of the concatenated sequence of *B. washoensis* within the five genera ranged from 97.1–99.8% (*Spermophilus*) to 99.9% (*Glaucomys*) and the similarity of *B. washoensis* between the genera ranged from 94.9–95.0% (*Sciurus* vs. *Glaucomys*) to 98.4% (*Glaucomys* vs. *Tamiasciurus*) (Table 3).

B. washoensis strains except those from the genus *Spermophilus* were also classified by the clade of their host genus and geographic origins, i.e. *Tamiasciurus* and *Glaucomys* squirrels in North America and *Tamias* chipmunks and *Sciurus* squirrels in China. On the other hand, all of the strains derived from the genus *Spermophilus* formed a large clade, although the host animals of the genus *Spermophilus* originated from two different areas, i.e. North America and China (Fig. 1).

4. Discussion

To analyze the relationships between the genetic diversity of *B. washoensis* strains and host squirrels, MLSA with the 16S rRNA, *ftsZ*, *gltA*, *groEL*, *ribC*, and *rpoB* genes were applied for 20 *B. washoensis* strains, which were isolated from five different genera of squirrels, including *Tamias*, *Tamiasciurus*, *Glaucomys*, *Sciurus*, and *Spermophilus*. These strains formed a large clade with *B. washoensis* strains nvh1 from a human patient in the phylogenetic tree analysis based on the *gltA* gene (Inoue et al., 2009b). However, the strains were not discriminated at the species level of the organisms by the sequence similarity of 16S rRNA, *gltA*, and *ribC* genes, because the similarities between *B. washoensis* strains and other known rodent-associated *Bartonella* spp.

showed higher than those within *B. washoensis* strains. On the other hand, the sequence similarities (89.8–93.1%) based on the concatenated sequence of six loci between *B. washoensis* strains and other known rodent-associated *Bartonella* spp. were significantly lower than those (94.7–99.9%) within *B. washoensis* strains examined. In addition, all 20 strains examined were discriminated by the concatenated sequence. These results suggest that multi-gene analyses have higher discrimination power and should be a useful tool for further epidemiological investigation of *B. washoensis*.

In the phylogenetic trees based on the analysis of the concatenated sequence, *B. washoensis* strains formed a large clade apart from any of the other known rodent-associated *Bartonella* spp. Interestingly, *B. washoensis* strains formed five distinct clades by the genus of squirrels, i.e. clades *Spermophilus*, *Tamiasciurus*, *Glaucomys*, *Tamias*, and *Sciurus*, supported by 92–100% BV in ML and NJ and 100% BPP, respectively. The similarities of the concatenated sequences among the genus of squirrels were individually discriminated within the range from 94.9% to 98.4%, suggesting that *B. washoensis* is classified by the genus of the host squirrels. Based on the trees, all strains except those from squirrels of the genus *Spermophilus* were also classified by geographic origin, as the geographic distribution of *Tamiasciurus hudsonicus* and *Glaucomys volans* is limited to North America and that of *Tamias sibiricus* and *Sciurus vulgaris orientis* is in Eurasia. These results suggest that *B. washoensis* may have co-specified with their host squirrels.

On the other hand, the clade of *Bartonella* strains obtained from *Spermophilus* species formed four sub-clades correspondent to squirrel species, including *Sp. beecheyi*, *Sp. richardsonii*, *Sp. columbianus*, and *Sp. dauricus*. The clades include the strains from two different continents, i.e. North America and Eurasia. This result may indicate that a phylogenetic relationship of *B. washoensis* strains obtained from the genus *Spermophilus* is mainly associated with the genus of squirrel hosts rather than with their geographic origins. Although most *B. washoensis* strains from the squirrels formed sub-clades by the species of squirrel, strain CJ22-1 from *Sp. columbianus* formed a clade with the strains from *Sp. richardsonii*. This result may explain that the habitat of *Sp. columbianus* and *Sp. richardsonii* are overlapped in North America (Nowak, 1999) and may be infected with related strains from common sources by some arthropod vectors.

In conclusion, MLSA based on the concatenated sequences of six genes is a useful tool for the discrimina-

tion of *B. washoensis* at the strain level. The strong host specificity of *B. washoensis* strains could allow to trace the source of *B. washoensis* infection in humans and animals by using MLSA.

Acknowledgements

This work was supported in part by a Grant for Strategic Research Base Development Program, international research on epidemiology of zoonoses and training for young researchers, from the Ministry of Education, Culture, Sports, Science and Technology, and also supported in part by a Grant-in-Aid from the Ministry of Health, Labor and Welfare, Japan.

References

- Bai, Y., Kosoy, M., Martin, A., Ray, C., Sheff, K., Chalcraft, L., Collinge, S.K., 2008. Characterization of *Bartonella* strains isolated from black-tailed prairie dogs (*Cynomys ludovicianus*). *Vector Borne Zoonotic Dis.* 8, 1–5.
- Bown, K.J., Ellis, B.A., Birtles, R.J., Durden, L.A., Lello, J., Begon, M., Bennett, M., 2002. New world origins for haemoparasites infecting United Kingdom grey squirrels (*Sciurus carolinensis*) as revealed by phylogenetic analysis of bartonella infecting squirrel populations in England and the United States. *Epidemiol. Infect.* 129, 647–653.
- Chomel, B.B., Wey, A.C., Kasten, R.W., 2003. Isolation of *Bartonella washoensis* from a dog with mitral valve endocarditis. *J. Clin. Microbiol.* 41, 5327–5332.
- Felsenstein, J., 1985. Confidence limits on phylogenies: an approach using the bootstrap. *Evolution* 39, 783–791.
- Heller, R., Artois, M., Xemar, V., De Briel, D., Gehin, H., Jaulhac, B., Monteil, H., Piernot, Y., 1997. Prevalence of *Bartonella henselae* and *Bartonella clarridgeiae* in stray cats. *J. Clin. Microbiol.* 35, 1327–1331.
- Hillis, D.M., Bull, J.J., 1993. An empirical test of bootstrapping as a method for assessing confidence in phylogenetic analysis. *Syst. Biol.* 42, 182–192.
- Huelsenbeck, J.P., Ronquist, F., 2001. MRBAYES: Bayesian inference of phylogenetic trees. *Bioinformatics* 17, 754–755.
- Inoue, K., Kabeya, H., Kosoy, M.Y., Bai, Y., Smirnov, G., McColl, D., Artsob, H., Maruyama, S., 2009. Evolutional and geographical relationships of *Bartonella grahamii* isolates from wild rodents by multi-locus sequencing analysis. *Microb. Ecol.* 57, 534–541.
- Inoue, K., Maruyama, S., Kabeya, H., Hagiya, K., Izumi, Y., Une, Y., Yoshi-kawa, Y., 2009. Exotic small mammals as potential reservoirs of zoonotic *Bartonella* spp. *Emerg. Infect. Dis.* 15, 526–532.
- Jardine, C., Appleyard, G., Kosoy, M.Y., McColl, D., Chirino-Trejo, M., Wobeser, G., Leighton, F.A., 2005. Rodent-associated *Bartonella* in Saskatchewan, Canada. *Vector Borne Zoonotic Dis.* 5, 402–409.
- Jukes, T.H., Cantor, C.R., 1969. Evolution of protein molecules. In: Munro, H.N. (Ed.), *Mammalian Protein Metabolism*, vol. 3. Academic Press, New York, pp. 21–132.
- Kosoy, M., Murray, M., Gilmore Jr., R.D., Bai, Y., Gage, K.L., 2003. *Bartonella* strains from ground squirrels are identical to *Bartonella washoensis* isolated from a human patient. *J. Clin. Microbiol.* 41, 645–650.
- Larkin, M.A., Blackshields, G., Brown, N.P., Chenna, R., McGettigan, P.A., McWilliam, H., Valentin, F., Wallace, I.M., Wilm, A., Lopez, R., Thompson, J.D., Gibson, T.J., Higgins, D.G., 2007. Clustal W and Clustal X version 2.0. *Bioinformatics* 23, 2947–2948.
- Norman, A.F., Regnery, R., Jameson, P., Greene, C., Krause, D.C., 1995. Differentiation of *Bartonella*-like isolates at the species level by PCR-restriction fragment length polymorphism in the citrate synthase gene. *J. Clin. Microbiol.* 33, 1797–1803.
- Nowak, R.M., 1999. *Walker's Mammals of the World*, 6th ed., vol. 2. The Johns Hopkins University Press, Baltimore, pp. 1254–1258.
- Nylander, J.A.A., 2004. MrModeltest v2. Program Distributed by the Author. Evolutionary Biology Centre, Uppsala University.
- Posada, D., Crandall, K.A., 1998. MODELTEST: testing the model of DNA substitution. *Bioinformatics* 14, 817–818.
- Renesto, P., Gouvernet, J., Drancourt, M., Roux, V., Raoult, D., 2001. Use of *rpoB* gene analysis for detection and identification of *Bartonella* species. *J. Clin. Microbiol.* 39, 430–437.
- Ronquist, F., Huelsenbeck, J.P., 2003. MrBayes 3: Bayesian phylogenetic inference under mixed models. *Bioinformatics* 19, 1572–1574.
- Saitou, N., Nei, M., 1987. The neighbor-joining method: a new method for reconstructing phylogenetic trees. *Mol. Biol. Evol.* 4, 406–425.
- Swofford, D.L., 2002. PAUP*: phylogenetic analysis using parsimony (*and other methods). Version 4. 0b10. Sinauer Associates, Sunderland, Massachusetts.
- Tamura, K., Nei, M., 1993. Estimation of the number of nucleotide substitutions in the control region of mitochondrial DNA in humans and chimpanzees. *Mol. Biol. Evol.* 10, 512–526.
- Yang, Z., 1994. Estimating the pattern of nucleotide substitution. *J. Mol. Evol.* 39, 105–111.
- Zeaiter, Z., Fournier, P.E., Ogata, H., Raoult, D., 2002. Phylogenetic classification of *Bartonella* species by comparing *groEL* sequences. *Int. J. Syst. Evol. Microbiol.* 52, 165–171.
- Zeaiter, Z., Liang, Z., Raoult, D., 2002. Genetic classification and differentiation of *Bartonella* species based on comparison of partial *ftsZ* gene sequences. *J. Clin. Microbiol.* 40, 3641–3647.

侵入・不許可動物等に関する研究 G

深瀬 徹／明治薬科大学
浦口 宏二／北海道立衛生研究所
井上 智／国立感染症研究所